

Особенности роста парового пузырька при лазерном воздействии на биологическую жидкость

А.А. Чернов^{1,2}, А.А. Пильник^{1,2}, А.А. Левин^{1,3}, М.А. Гузев⁴,
В.М. Чудновский^{1,4}

¹Новосибирский государственный университет

²Институт теплофизики им. С.С. Кутателадзе СО РАН, Новосибирск

³Институт систем энергетики им. Л.А. Мелентьева СО РАН, Иркутск

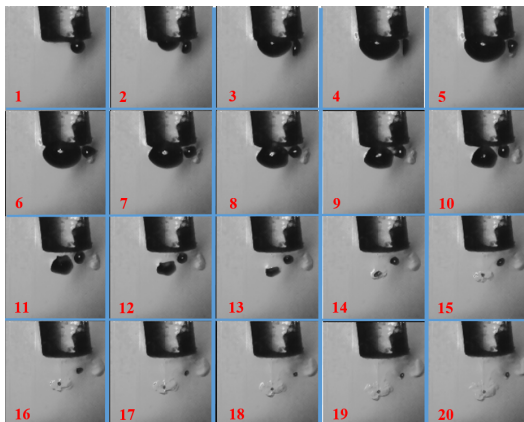
⁴Институт прикладной математики ДВО РАН, Владивосток

При поддержке РФФ, проект № 19-19-00122

Научная конференция «Математика в медицине»

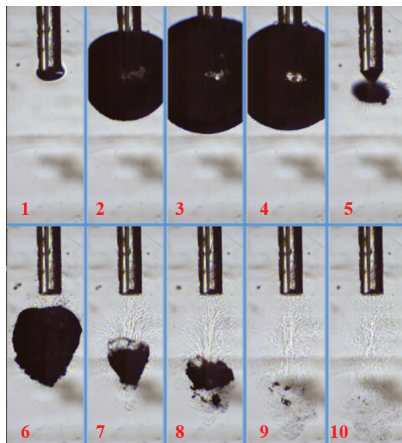
27–30 мая 2021 года, Томск

- Экспериментальные данные по элементарному акту вскипания недогретой жидкости вблизи торца оптоволокна при поверхностном и объемном тепловыделении.
- Оценка температуры и размера области перегрева жидкости вблизи торца оптоволокна, характерного времени ожидания образования парового пузырька.
- Механизм и оценка скорости формирующейся при схлопывании парового пузырька горячей затопленной струи.
- Численное подтверждение гипотезы о куммулятивной природе формирующейся струи.
- Математическая модель роста парового пузырька в перегретой жидкости. Характерные величины и определяющие критерии.
- Аналитическое решение. Инерционная и переходная стадии роста. Тепловая стадия роста: автомодельное решение.
- Выводы.

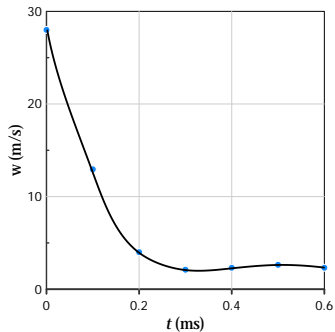
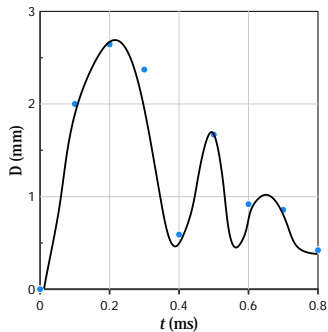


Эволюция парогазового пузырька, образованного на зачерненном торце оптоволокна, при воздействии лазерного излучения с длиной волны $0.97 \mu\text{m}$.

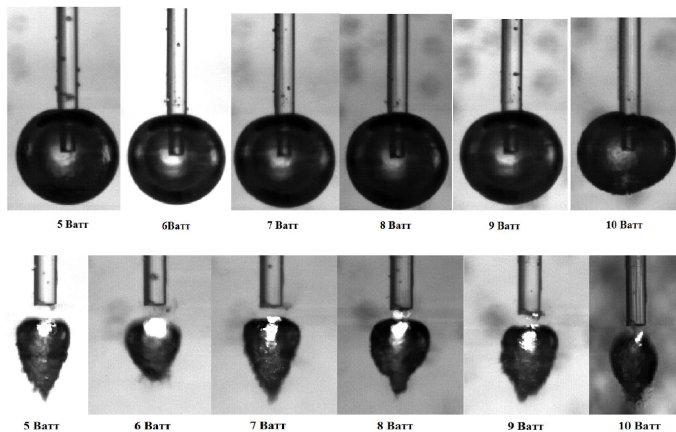
Интервал между кадрами — $1/30 \text{ ms}$.



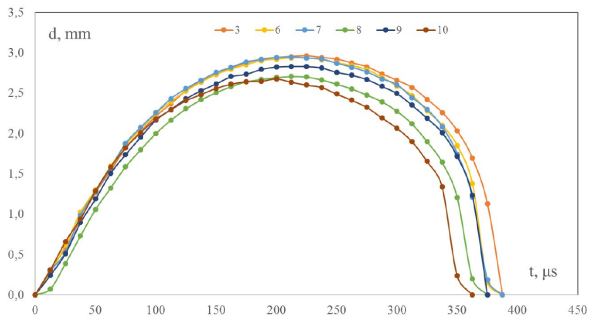
Эволюция парогазового пузырька, образованного вблизи торца оптоволоконна, при воздействии лазерного излучения с длиной волны $1.94 \mu\text{m}$ в случае вертикальной ориентации оптоволоконна. Интервал между кадрами — 0.1 ns .



Зависимость приведенного диаметра парогазового пузырька D (a) и скорости формирующейся струи w (b) от времени t .



- (а) Максимальный размер пузырей, получаемых в экспериментах при различных мощностях подаваемого лазерного излучения.
- (б) Иллюстрация схожего характера образующихся при различных мощностях подаваемого лазерного излучения кумулятивных струй.



Динамика парового пузырька при различных мощностях лазерного излучения.

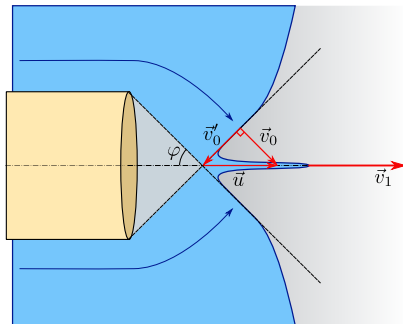
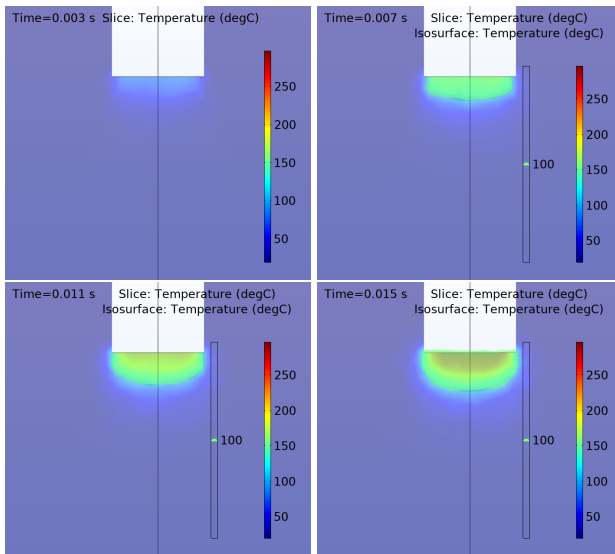
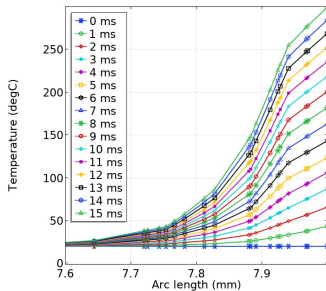
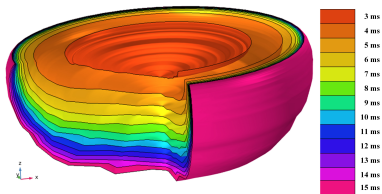


Схема формирования кумулятивной струи.

$$\begin{cases} u = v_0 / \sin \varphi \\ v'_0 = v_0 \coth \varphi \end{cases} \Rightarrow \boxed{v_1 = v_0(1 + \cos \varphi) / \sin \varphi} \quad (v_1 \sim 35 \text{ м/с})$$



Динамика области перегретой жидкости.



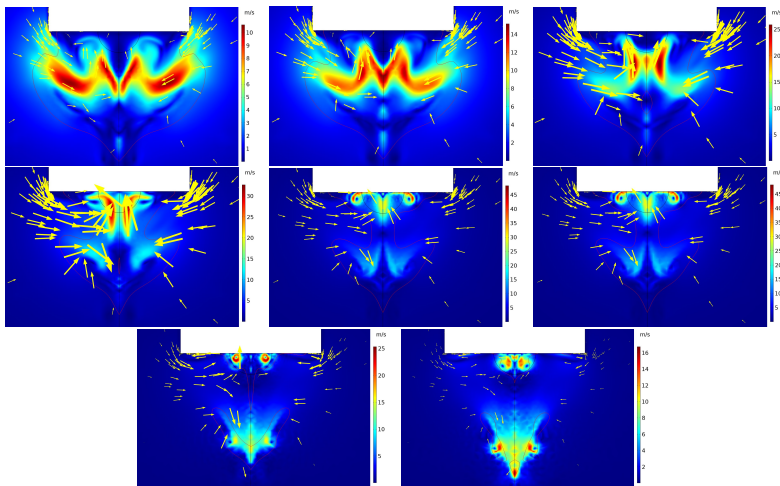
Динамика области перегретой жидкости.

Частота нуклеации:

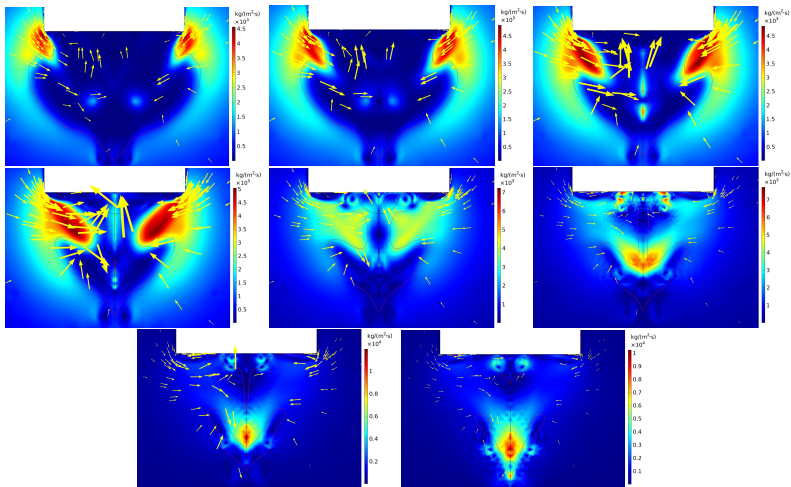
$$J_{\text{hom}} = N_{\text{hom}} B_{\text{hom}} \exp\left(-\frac{W_{\text{hom}}^*}{k_B T}\right); \quad W_{\text{hom}}^* = \frac{16\pi\sigma^3}{3} [(p_\infty - p_l)(1 - v_l/v_v)]^{-2}.$$

Условие образования зародыша:

$$\int_0^{t_0} \int_{V(t)} J_{\text{hom}} dV dt \approx 1 \Rightarrow t_0 - \text{характерное время ожидания} + \text{температурное поле.}$$



Механизм образования кумулятивной струи. Поле скоростей.



Механизм образования кумулятивной струи. Поле импульсов.

- **Динамическая инерционная модель.**

Давление пара в пузырьке в течении всего процесса поддерживается постоянным и равным давлению насыщения при начальной температуре жидкости. Температура жидкости на границе пузырька не изменяется и равна температуре вдали от него, т. е. пренебрегается охлаждением жидкости вблизи межфазной границы, обусловленным испарением.

- **Динамическая вязкая модель.**

Скорость роста пузырька лимитируется вязкими силами. Исходное уравнение для этого предельного случая получается из уравнения Рэлея (в пренебрежении инерционными членами).

- **Энергетическая молекулярно-кинетическая модель.**

Предпринимается попытка учесть кинетику фазового превращения. Скорость роста пузырька в данном случае определяется скоростью испарения жидкости с перегретой межфазной границы. Пар в пузырьке в процессе его роста при этом находится в ненасыщенном состоянии.

- **Энергетическая тепловая модель.**

Рост пузырька обусловлен подводом тепла к межфазной границе от внешних перегретых слоев жидкости. При этом все подведенное тепло расходуется на испарение. Давление пара в пузырьке в течение всего времени поддерживается постоянным и равным давлению окружающей жидкости. Пар в пузырьке находится в насыщенном состоянии.

Уравнение неразрывности: $v_l(r) = v_{lR}(R/r)^2$;

Уравнение импульсов: $\frac{\partial v_l}{\partial t} + \frac{\partial}{\partial r} \left(\frac{p_l}{\rho_l} + \frac{v_l^2}{2} \right) = 0$.

Модифицированное уравнение Рэлея:

$$\frac{1}{R} \frac{d}{dt} (v_{lR} R^2) - \frac{v_{lR}^2}{2} = \frac{p_{lR} - p_l^i}{\rho_l}.$$

Граничные условия:

$$\frac{1}{4\pi R^2} \frac{d}{dt} \left(\frac{4\pi}{3} R^3 \rho_v \right) = j; \quad v_{lR} = \dot{R} - j/\rho_l;$$

$$p_{lR} = p_v + j v_{lR} - \frac{2\sigma}{R} - 4\eta_l \frac{v_{lR}}{R};$$

$$j\mathcal{L} = \lambda_l (\partial T_l / \partial r)_{r=R}.$$

Уравнение теплопроводности для жидкой фазы:

$$\frac{\partial(\rho_l c_l T_l)}{\partial t} + v_l \frac{\partial(\rho_l c_l T_l)}{\partial r} = \frac{1}{r^2} \frac{\partial}{\partial r} \left(\lambda_l r^2 \frac{\partial T_l}{\partial r} \right).$$

Начальное и граничные условия:

$$(T_l)_{t=0} = T^i > T^s(p_v^i);$$

$$(T_l)_{r=R} = T^s(p_v); \quad (T_l)_{r \rightarrow \infty} = T^i.$$

+ уравнение состояния:

$$\rho_v = \rho_v(p_v, T_v).$$

+ уравнение локального термодинамического равновесия:

$$p_v = p^s(T_v) \quad \text{или} \quad T_v = T^s(p_v).$$

<i>Величина:</i>	<i>Безразмерная величина:</i>	<i>Характерное значение:</i>
Температура, T	$\Theta = (T - T^i)/\Delta T^i$	$\Delta T^i = T^i - T^s(p^i)$
Давление, p	$\Pi = (p - p^i)/\Delta p^i$	$\Delta p^i = p^s(T^i) - p^i$
Время, t	$\tau = t/t_0$;	$t_0^{\text{dyn}} = R_0 \sqrt{\rho_l / \Delta p_l^i}$; $t_0^{\text{th}} = R_0^2 / a_l$
Скорость, v	$\bar{v} = v/v_0$;	$v_0 = \sqrt{\Delta p_l^i / \rho_l}$
Размер, r ; R	$\bar{r} = r/R_0$; $\bar{R} = R/R_0$	R_0

Выбор характерного размера:

$$t_0^{\text{dyn}} = t_0^{\text{th}} \equiv t_0 \Rightarrow R_0 = a_l \sqrt{\rho_l / \Delta p_l^i}.$$

Безразмерные критерии:

$$\mathbf{Ku} = \frac{\mathcal{L}}{c_l \Delta T^i}; \quad \mathbf{Ja} = \frac{\rho_l}{\rho_v^f} \frac{c_l \Delta T^i}{\mathcal{L}};$$

$$\mathbf{Eu} = \frac{\Delta p_l^i}{\rho_l v_0^2} = 1; \quad \mathbf{We} = \frac{\sigma}{\rho_l v_0^2 R_0}; \quad \mathbf{Re} = \frac{\rho_l R_0 v_0}{\mu_l}.$$

Краевая задача в переменных τ ; $\chi = r/R$:

- Уравнение теплопроводности:

$$\bar{R}^2 \frac{\partial \Theta_l}{\partial \tau} = \left(-\frac{\alpha}{\chi^2} + \frac{2}{\chi} + \beta \chi \right) \frac{\partial \Theta_l}{\partial \chi} + \frac{\partial^2 \Theta_l}{\partial \chi^2}, \quad \dot{\bar{R}} = d\bar{R}/d\tau, \quad k = 1 - \bar{\rho}_v,$$

где $\alpha = \bar{v}_{lR} \bar{R}$ и $\beta = \dot{\bar{R}} \bar{R}$.

- Начальное и граничные условия:

$$(\Theta_l)_{\tau=0} = 0; \quad (\Theta_l)_{\chi=1} = \Theta^s(\bar{\rho}_v); \quad (\Theta_l)_{\chi \rightarrow \infty} = 0.$$

Решение тепловой задачи:

$$\Theta_l(\tau, \chi) = \Theta^s(\bar{\rho}_v) \frac{\mathbf{I}(\chi, \alpha, \beta)}{\mathbf{I}(1, \alpha, \beta)}, \quad \mathbf{I}(\chi, \alpha, \beta) = \int_0^{1/\chi} \exp\{-\alpha\zeta - \beta\zeta^{-2}/2\} d\zeta.$$

Полное решение:

$$\dot{\alpha} = \Pi^s(\bar{\rho}_v) - \frac{2}{\mathbf{We}} \frac{1}{\bar{R}} - \frac{4}{\mathbf{Re}} \frac{\alpha}{\bar{R}^2} - \frac{\alpha^2}{2\bar{R}^2};$$

$$\dot{\bar{\rho}}_v = 3\{(1 - \bar{\rho}_v)\beta - \alpha\}/\bar{R}^2;$$

$$\dot{\bar{R}} = \beta/\bar{R},$$

где функция $\beta = \beta(\alpha, \bar{\rho}_v)$ неявно задана уравнением:

$$(\beta - \alpha)\mathbf{I}^*(\alpha, \beta) = -\mathbf{Ku}^{-1} \Theta^s(\bar{\rho}_v), \quad \mathbf{I}^*(\alpha, \beta) = \int_0^1 \exp\{\alpha(1 - \zeta) + \beta(1 - \zeta^{-2})/2\} d\zeta.$$

+ зависимости $\Pi^s(\bar{\rho}_v)$ и $\Theta^s(\bar{\rho}_v)$.

Приближения:

- при $\alpha, \beta \ll 1$: $\mathbf{I}^*(\alpha, \beta) \approx 1$;
- при $\alpha, \beta \gtrsim 1$:

$$\mathbf{I}^*(\alpha, \beta) \approx \frac{\sqrt{\pi}}{\sqrt{2\beta + 4\alpha - 4}} \exp\left\{\left(\frac{\beta - \alpha + 2}{\sqrt{2\beta + 4\alpha - 4}}\right)^2\right\} \operatorname{erfc}\left(\frac{\beta - \alpha + 2}{\sqrt{2\beta + 4\alpha - 4}}\right).$$

Идеальный газ:

$$p_v = p_v / (R_g T_v) \quad \text{или} \quad \bar{\rho}_v = \bar{\rho}_v^i \frac{1 + \varkappa_2 \Pi_v}{1 + \varkappa_1 \Theta_v},$$

где $\varkappa_1 = \Delta T^i / T^i$; $\varkappa_2 = \Delta p^i / p^i$; $\rho_v^i = p^i / (\mathcal{R} T^i)$; $R_g = \mathcal{R} / M$.

Уравнение Менделеева–Клапейрона:

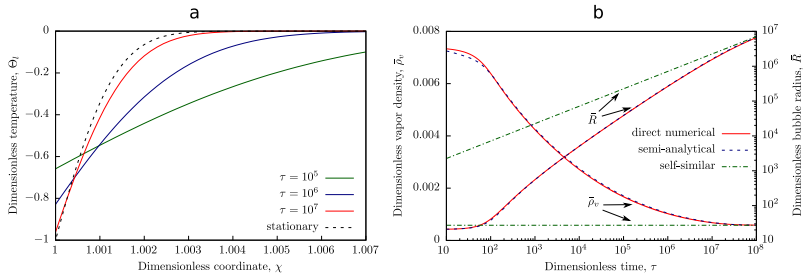
$$\frac{dp^s}{dT} = \frac{\mathcal{L}}{T(\rho_v^{-1} - \rho_l^{-1})} \Rightarrow p^s = p^i \exp \left\{ \frac{\mathcal{L}}{R_g} \left(\frac{1}{T^s(p^i)} - \frac{1}{T} \right) \right\}.$$

Или

$$1 + \varkappa_2 \Pi^s = \exp \left\{ \varepsilon \left((1 - \varkappa_1)^{-1} - (1 + \varkappa_1 \Theta_v)^{-1} \right) \right\};$$

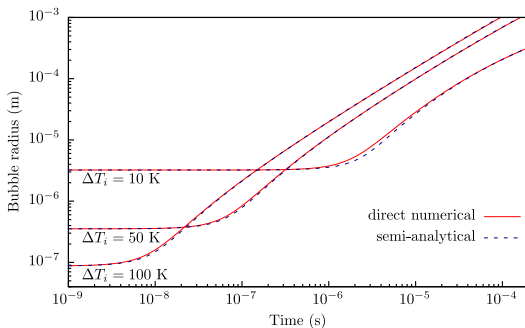
$$1 + \varkappa_1 \Theta^s = \left\{ (1 - \varkappa_1)^{-1} - \varepsilon^{-1} \ln(1 + \varkappa_2 \Pi_v) \right\}^{-1},$$

где $\varepsilon = \mathcal{L} / (R_g T^i)$.



(a) Зависимость температуры жидкости Θ_l от радиальной координаты χ в различные моменты времени τ .

(b) Зависимость радиуса пузырька \bar{R} и плотности пара в пузырьке $\bar{\rho}_v$ от времени τ .



Зависимость радиуса пузырька R от времени t для воды для различных начальных перегревов: сплошная линия — прямое численное моделирование; штриховая линия — найденное полуаналитическое решение.

На больших временах ($\tau \gg 1$): $\bar{p}_v \rightarrow 0$; $\Theta_R \rightarrow 0$; $\bar{\rho}_v \rightarrow \bar{\rho}_v^f$ (асимптотическая тепловая стадия роста).

Решение для температурного поля (в случае мгновенного перегрева):

$$\Theta_l(\chi) = -\frac{\mathbf{I}(\chi, \kappa\beta^f, \beta^f)}{\mathbf{I}(1, \kappa\beta^f, \beta^f)}; \quad \bar{R} = \sqrt{2\beta^f\tau}.$$

Уравнение на β^f :

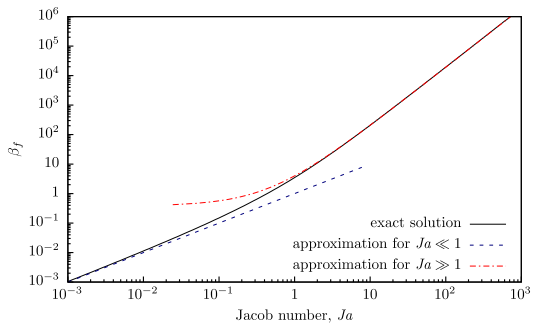
$$\beta^f \mathbf{I}^*(\kappa\beta^f, \beta^f) = \mathbf{Ja}.$$

Приближения:

— при $\mathbf{Ja} \ll 1$: $\Theta_l(\chi) \approx 1 - 1/\chi$; $\beta^f \approx \mathbf{Ja}$.

— при $\mathbf{Ja} \gg 1$: $\Theta_l(\chi) \approx \operatorname{erf} \left\{ \left(\sqrt{3\beta^f/2} \right) (\chi - 1) \right\}$; $\beta^f \approx (6/\pi)(\mathbf{Ja} + 4/9)^2$.

Совпадают с классическими решениями!



Зависимость коэффициента β_f от Ja .

- Показано, что в результате быстрого нагрева жидкости вблизи торца образуется паровой пузырек, который в процессе своей эволюции претерпевает следующие стадии: стадию быстрого роста, за счет накопленного до его появления тепла, и последующего схлопывания, сопровождающегося образованием жидкой перемычки, которая, при замыкании, приводит к генерации горячей двухфазной струи, распространяющейся от торца оптоволокна вглубь жидкости. Рассчитаны значения достигаемых перегревов и характерного времени ожидания образования парового зародыша. Представлены оценки скорости формирующейся струи.
- Сформулирована математическая модель роста парового пузырька в изначально однородно перегретой жидкости, одновременно учитывающая как динамические, так и тепловые эффекты и включающая в себя известные классические уравнения — уравнение Рэлея и уравнение энергии, записываемые применительно к рассматриваемой задаче с учетом специфики, связанной с процессом испарения жидкости.
- Показано, что представленная задача сводится к решению системы из трех обыкновенных дифференциальных уравнений первого порядка. Показано, что полученное решение хорошо согласуется с прямыми численными расчетами в широком диапазоне перегревов и на всех стадиях процесса, включая переходную, учет которой необходим, особенно если рассматривать рост пузырька в сильно перегретой жидкости.

СПАСИБО ЗА ВНИМАНИЕ!